

동축공기가 있는 H₂/CO 비예혼합 난류 제트화염의 질소산화물 배출 상사식에 대한 실험적 연구

손기태* · 황정재* · Nicolas Bouvet* · 윤영빈**

An Experimental Study on Scaling of Nitrogen Oxide emissions of H₂/CO Non-premixed Turbulent Jet Flame with Coaxial Air

Kitae Sohn*, Jeongjae Hwang*, Nicolas Bouvet*, Youngbin Yoon**

ABSTRACT

The effect of fuel composition and coaxial air on the nitrogen oxide emission index was studied in a non-premixed turbulent jet flame. Validity of experimental setup and methodology is checked. The NO_x emission trend is similar with previous works in hydrogen flame, but it's not well in H₂/CO flame. Normalized EINO_x scaling with modified S_G applying near-field concept was conducted. Experimental data don't collapse single correlation curve, but partially same trend is observed in all cases.

Key Words : H₂/CO flame, Turbulent non-premixed jet flame, Coaxial air, effective jet diameter, EINO_x scaling

익히 알려진 바와 같이 열적 NO_x의 생성은 화염온도와 화염체류시간에 크게 영향을 받는다. 화염체류시간은 화염의 구조 특성을 보여주는 대표적인 파라미터로써 NO_x 생성과 화염구조사이에는 밀접한 상관관계가 존재한다고 할 수 있다. Chen[1]은 단순제트화염에서 화염체류시간(τ_R)과 Damkholer number(Da), Reynolds number(Re)를 파라미터로 한 EINO_x 스케일링을 수행하여 다음의 상관관계식을 제안하였다.

$$EINO_x / (L_f^3 / d_f^2 U_f) \sim Re^{m - \frac{1}{2}} Da^n \quad (4)$$

연료가 수소인 경우 $m=1/2$, $n=-1/2$ 으로 화염체류시간으로 평균화된 EINO_x는 Da과 반비례관계에 있는 global strain rate(S_G , U_f/d_f)의 1/2 제곱에 선형적으로 비례함을 보였다. 이를 바탕으로 Kim[2]은 변형된 S_G 를 파라미터로 하여 동축공기가 있는 수소난류제트화염에서도 1/2 제곱 비례가 성립함을 보였으며, Weiland[3]와 Oh[4]는 각각 유효직경을 도입한 Da와 S_G 를 사용하여 스케일링을 수행하였다.

본 실험에서는 수소난류제트화염에서 수행된 화염길이 연구를 바탕으로 하여 다른 조성비를

가진 H₂/CO 제트화염에서 연료조성비에 따른 영향을 살펴보고 질소산화물 배출지수에 관한 스케일링을 시도하였다.

실험장치는 Fig 1과 같다. 연소실은 200mm x 200mm의 단면을 가지고 높이가 800mm이며, 배기덕트로 이어진다. 연소실 하단 가운데에 연료노즐이 위치해 있고 연료노즐을 동축공기노즐이 감싸고 있다. 연료노즐과 동축공기노즐 주위로 동축류가 흐를 수 있도록 구성되어 있다. 연료노즐은 3.00mm의 내경과 3.90mm의 외경을 가지고 동축공기는 12.4mm의 내경을 가진다. MF C를 이용하여 연료(수소, 일산화탄소)와 동축공기의 유량을 조절하였으며, 총당량비(ϕ_G)를 0.5로 일정하게 유지하기 위하여 동축류를 공급하였다. 단순 난류 제트화염조건에서 동축류에 의한 화염길이 변화를 측정된 결과, 총당량비 0.5 이하에서는 동축류의 유량(속도)에 관계없이 화염길이 일정하였다. 따라서 본 실험에서 동축류는 화염장의 유동에 거의 영향을 미치지 않는 것으로 볼 수 있다.

난류제트화염은 노즐 및 유동 속도 조건에 따라 부착화염, 부상화염, 화염날림 현상이 관측된다. 본 실험은 선행 연구[5]에서 파악된 화염안정화 지도를 바탕으로 부착화염 영역에서만 수행되었다. 실험조건을 표1에 나타내었다. 3가지의 연료(H₂/CO) 조성비(%vol. 100/0, 75/25, 50/50)에서 노즐 출구 레이놀즈수(Re_f)를 4000~15000의 범위로 맞춘 후, 특정 U_A/U_F 가 되도록 U_A 를 맞춰 실험을 수행하였다.

* 서울대학교 기계항공공학부

† 연락처자, ybyoon@snu.ac.kr

TEL : (02)880-1904 FAX : (02)-872-8032

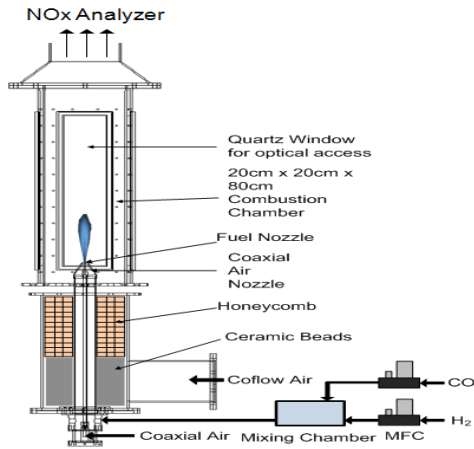


Fig. 1 Schematic diagram of syngas turbulent non-premixed jet flame combustor

Table 1 Experimental condition

	H ₂ 100%	H ₂ 75% / CO 25%	H ₂ 50% / CO 50%
U _f [m/s]	149 - 373	74 - 207	47 - 130
U _a [m/s]	0 - 43	0 - 50	0 - 40
Re	4000 - 10000	5000 - 14000	5000 - 14000
U _a / U _f	0 - 0.309		
U _∞ [m/s]	≈0.2		
Φ _G	0.5		

화염길이는 ICCD Camera(PI-MAX 1K, Princeton Instruments Inc.)를 이용하여 관측한 OH* 자발광 이미지를 통해 측정하였다. 선행연구[6]에서는 OH* 자발광 강도 감소구간에서의 변곡점까지의 거리를 화염길이라고 정의하였으나, 변곡점을 명시하기가 쉽지 않다. 따라서 가시화염 이미지에서 사용하는 방식과 같이 최대 강도의 문턱치(threshold)를 정하여 이미지를 후처리 한 후에 노즐입구에서 화염끝단까지의 축 방향 거리로 화염길이를 정의하였다. 선행연구[2,4]에 따르면 가시화염 이미지를 이용한 경우에는 문턱치값(5~30%)에 관계없이 화염길이가 일정하다고 한다. 하지만 본 실험에서 사용한 OH* 자발광 이미지의 경우에는 문턱치값 반비례하여 화염길이가 감소하였다. 따라서 비교를 위해서 선행 연구[1]에서 측정된 단순화산 화염길이를 바탕으로 하여 문턱치를 정하였다.

NOx의 측정은 질소산화물이 더 이상 반응을 하지 않으며 유동이 충분히 발달된 후류에서 비샘플링방식의 질소산화물 분석기(Mega-720NO

x, Horiba Co.)를 이용하여 측정하였다.

H₂/CO의 조성비에 관계없이 EINOx는 다음의 식을 통해 구할 수 있다.

$$EINOx = 0.001\chi_{NOx} \left(\frac{MW_{NO}}{MW_F} \right) \left(\frac{1 + (4.76/\Phi_G)}{2} \right), [g/kg] \quad (5)$$

배기가스 중의 질소산화물은 대부분이 NO이므로 식(5)에서 NO의 분자량을 사용하였다. 먼저 U_A/U_F 및 연료조성 따른 NOx 생성량의 변화 추이를 살펴보았다. 관측값(ppm)은 실험환경에 직접적으로 영향을 받기 때문에 EINOx와는 다른 현상론적 의미를 가진다.

1. U_A/U_F가 증가할수록 NOx가 감소한다. 이는 화염길이의 감소로 인해 τ_R이 감소하였기 때문이다.
2. Re_F가 증가할수록 NOx가 감소한다. 이는 동일한 화염길이에서 연료속도의 증가로 인해 τ_R이 감소하였기 때문이다.
3. 높은 U_A/U_F에서는 연료 조성과 U_A/U_F에 둔감하다. 이는 화염길이의 변화가 크지 않기 때문이며 H₂/CO 화염에서도 열적 NOx가 지배적임을 알 수 있다.

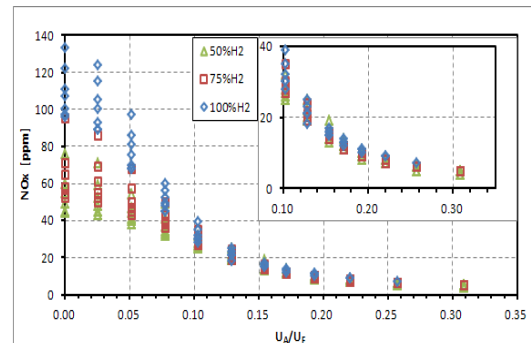


Fig. 2 Measured NOx versus U_A/U_F

다음으로 EINOx 스케일링을 수행하였다. 이전 연구와의 비교를 위해 Kim의 스케일링을 적용시켜 Fig. 3에 나타내었다. 화염체류시간에 적용된 화염의 체적은 화염길이의 세제곱으로 정의하였고, 화염길이는 U_A/U_F별 평균 화염길이를 적용하였다. 100% H₂의 경우에는 기존의 스케일링을 잘 따르지만 CO가 함유된 경우에는 기존의 스케일링과는 거리가 멀다. 다만 확인할 수 있는 점은 첫째로 각 연료별로 동일한 U_A/U_F의 곡선을 따라서는 1/2 제곱 비례를 하고 있으며, 둘째로 U_A/U_F=0.3 근처에서 경향이 달라지는 움직임을 보이고 있다는 것이다.

Kim[2]의 S_G 는 수소난류제트화염에서 유도된 파라미터이므로 CO가 함유되었을 때는 다른 추세를 보이는 것은 당연한 결과이다.

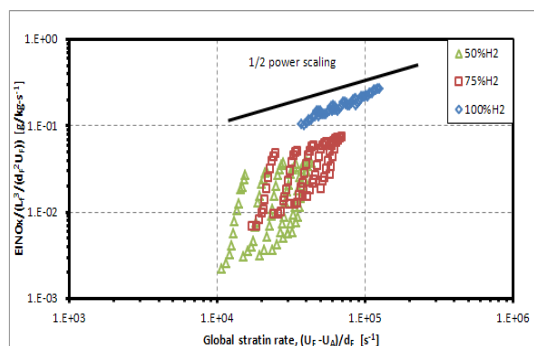


Fig. 3 Comparisons of normalized EINOx with previous work's scaling

이번에는 Oh[4]와 같이 유효직경을 도입한 S_G 를 이용하여 스케일링을 수행하였다. Oh는 far-field concept의 유효직경을 도입하였지만, 본 실험에서는 화염길이의 추세와 가장 부합되는 near-field concept[5]의 유효직경을 도입하였다.

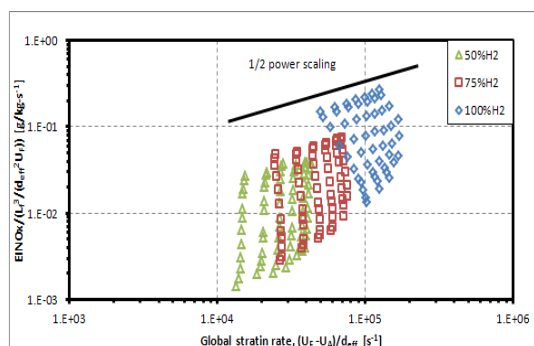


Fig. 4 normalized EINOx versus the global strain rate applied near-field concept

Fig. 4과 같이 normalized EINOx는 U_A/U_F 와 조성비에 영향을 받기 때문에 τ_R 과 S_G 만으로는 적절한 상관관계를 찾기가 불가능하다. 또한 변형된 S_G 는 U_A/U_F 의 영향을 포함하고는 있지만 특성을 정확하게 보여주지는 못했다. 이러한 결과는 Chen[1]이 제안한 식(4)를 통해 예상할 수 있다. m , n 은 제트의 연료에 따라 달라진다. 즉, m , n 은 연료와 동축공기의 비율(U_A/U_F)과 H₂/CO의 조성비(100/0, 75/25, 50/50)에 따라 다른 값을 나타내므로 단순수소난류화염에서와 같이 Re영향을 무시할 수 없으며, n 의 값도 1/2이 아닌 다른 값을 가질 수 있다. 다만 고무적인

것은 모든 조성비에서 동일한 U_A/U_F 를 따라 1/2제곱 비례 법칙 따른다는 점이다. 이는 조성비에 따라 적절한 m 을 구한다면 적어도 단순화염제트의 경우에 하나의 라인에 데이터가 모두 포함될 수 있음을 보여준다.

후 기

본 연구는 서울대학교 IAAT와 연계된 교육과학기술부의 중견연구자지원사업(0498-20110009)과 지식경제부의 재원으로 KETEP의 지원을 받아 수행한 신재생에너지기술개발사업(0420-20110006)의 연구 결과이며 이에 감사드립니다.

참고 문헌

- [1] R.H. Chen, J.F. Driscoll, 1990, Nitric oxide levels of jet diffusion flames: effects of coaxial air and other mixing parameters, Proc Combust Inst, Vol.23, pp. 281-288
- [2] S.H. Kim, Y. Yoon, I.-S. Jeung, 2000, Nitrogen oxides emissions in turbulent hydrogen jet non-premixed flames: Effects of coaxial air and flame radiation, Proc Combust Inst, Vol.28, pp. 463-471
- [3] N. Weiland, R. H. Chen, Effects of coaxial air on nitrogen-diluted hydrogen jet diffusion flame length and NOx emission, 2010, Proc Combust Inst, Vol.33, pp. 2983-2989
- [4] J. Oh, J. Hwang, Y. Yoon, 2010, EINOx scaling in a non-premixed turbulent hydrogen jet with swirled coaxial air, Int J Hydrogen Energy Vol.35, pp. 2310-2328
- [5] 황정재, Nicolas Bouvet, 윤영빈, 2011, 동축 공기 조건에서 H₂/CO 난류 제트 확산화염의 화염길이, KOSCO SYMPOSIUM 논문집, pp. 271-274
- [6] M. Ditaranto, J.C. Sautet, J.M. Samaniego, 2001, Structural aspects of coaxial oxy-fuel flames, Experiments in Fluids, Vol.30, pp. 253-261